

# Datové struktury

Zuzana Majdišová

19.5.2015

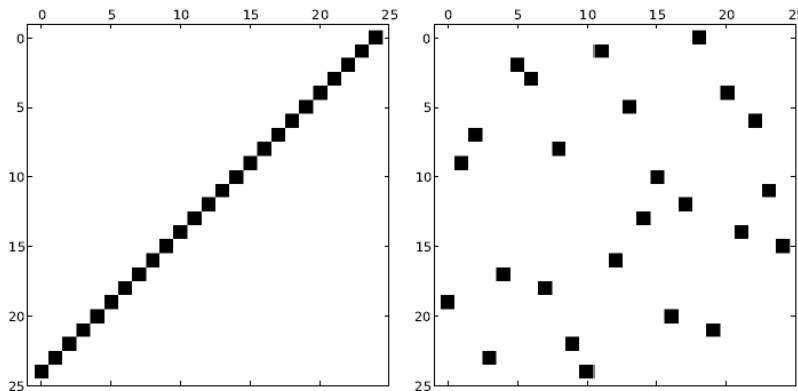
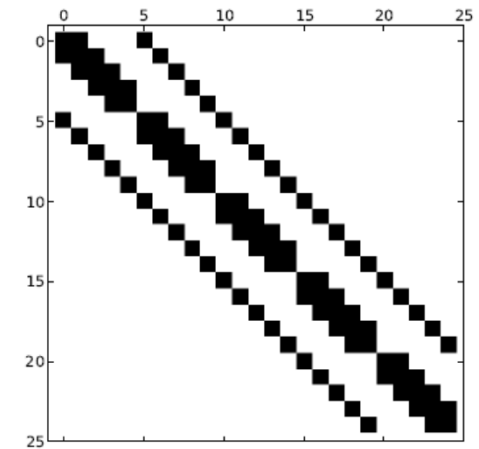
- Numerické datové struktury
  - Efektivní reprezentace velkých řídkých matic
  - Lze využít při výpočtu na GPU
- Dělení prostoru a binární masky
- Voxelová datová struktura

## DIA – Diagonální formát

- Definován poli: data (nenulové prvky) a offsets

Offset:	0	$i > 0$	$i < 0$
	Hlavní diagonála	super-diagonála	sub-diagonála

- **Výhody:** `row` a `col` definovány implicitně  
souvislý přístup k paměti
- **Nevýhody:** vhodné pouze pro určité uspořádání

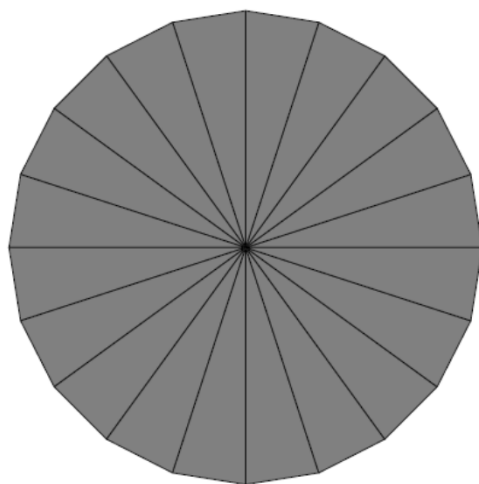
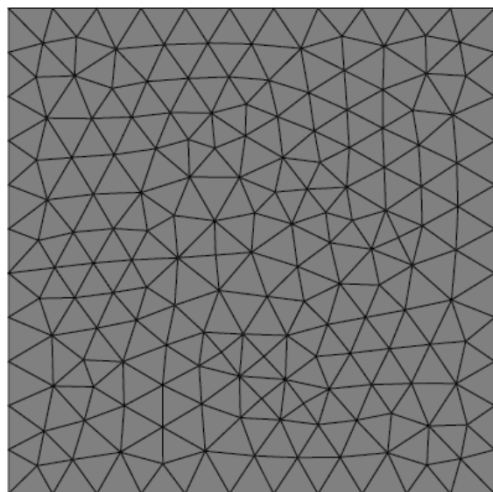


$$A = \begin{bmatrix} 1 & 7 & 0 & 0 \\ 0 & 2 & 8 & 0 \\ 5 & 0 & 3 & 9 \\ 0 & 6 & 0 & 4 \end{bmatrix} \quad \text{data} = \begin{bmatrix} * & 1 & 7 \\ * & 2 & 8 \\ 5 & 3 & 9 \\ 6 & 4 & * \end{bmatrix} \quad \text{offsets} = [-2 \quad 0 \quad 1]$$
  

	data	[ *   *   5   6   1   2   3   4   7   8   9   * ]	
Iteration 0	[	2   3	]
Iteration 1	[	0   1   2   3	]
Iteration 2	[	0   1   2	]

## ELL – ELLPACK formát

- Vhodný pro  $M \times N$  matici s max.  $K$  nenulovými prvky v řádku  
 $\Rightarrow$  Definován poli: `data` ( $M \times K$ ) a `indices` (sloupcové indexy)
- **Výhody:** obecnější než DIA
- **Nevýhody:** potřeba přibližně stejný počet nenulových prvků v každém řádku
- **Využití:** matice definovaná stencil operací pro síť s téměř stejnou konektivitou vrcholů



$$A = \begin{bmatrix} 1 & 7 & 0 & 0 \\ 0 & 2 & 8 & 0 \\ 5 & 0 & 3 & 9 \\ 0 & 6 & 0 & 4 \end{bmatrix} \quad \text{data} = \begin{bmatrix} 1 & 7 & * \\ 2 & 8 & * \\ 5 & 3 & 9 \\ 6 & 4 & * \end{bmatrix} \quad \text{indices} = \begin{bmatrix} 0 & 1 & * \\ 1 & 2 & * \\ 0 & 2 & 3 \\ 1 & 3 & * \end{bmatrix}$$

data	[1	2	5	6	7	8	3	4	*	*	9	*
indices	[0	1	0	1	1	2	2	3	*	*	3	*
Iteration 0	[0	1	2	3								
Iteration 1	[				0	1	2	3				
Iteration 2	[								0	1	2	3]

## COO – Souřadnicový (XY) formát

- Jednoduché schéma
- Definován poli: `data` (nenulové prvky), `row` (řádkové indexy) a `col` (sloupcové indexy)
- **Výhody:** lze reprezentovat libovolnou řádkovou matici
- **Nevýhody:** `row` a `col` definovány explicitně  $\Rightarrow$  vyšší výpočetní náročnost

$$A = \begin{bmatrix} 1 & 7 & 0 & 0 \\ 0 & 2 & 8 & 0 \\ 5 & 0 & 3 & 9 \\ 0 & 6 & 0 & 4 \end{bmatrix} \quad \begin{array}{l} \text{row} = [0 \ 0 \ 1 \ 1 \ 2 \ 2 \ 2 \ 3 \ 3] \\ \text{col} = [0 \ 1 \ 1 \ 2 \ 0 \ 2 \ 3 \ 1 \ 3] \\ \text{data} = [1 \ 7 \ 2 \ 8 \ 5 \ 3 \ 9 \ 6 \ 4] \end{array}$$

row	[0 0 1 1 2 2 2 3 3]
col	[0 1 1 2 0 2 3 1 3]
data	[1 7 2 8 5 3 9 6 4]
Iteration 0	[0 1 2 3 ]
Iteration 1	[ 0 1 2 3 ]
Iteration 2	[ 0 ]

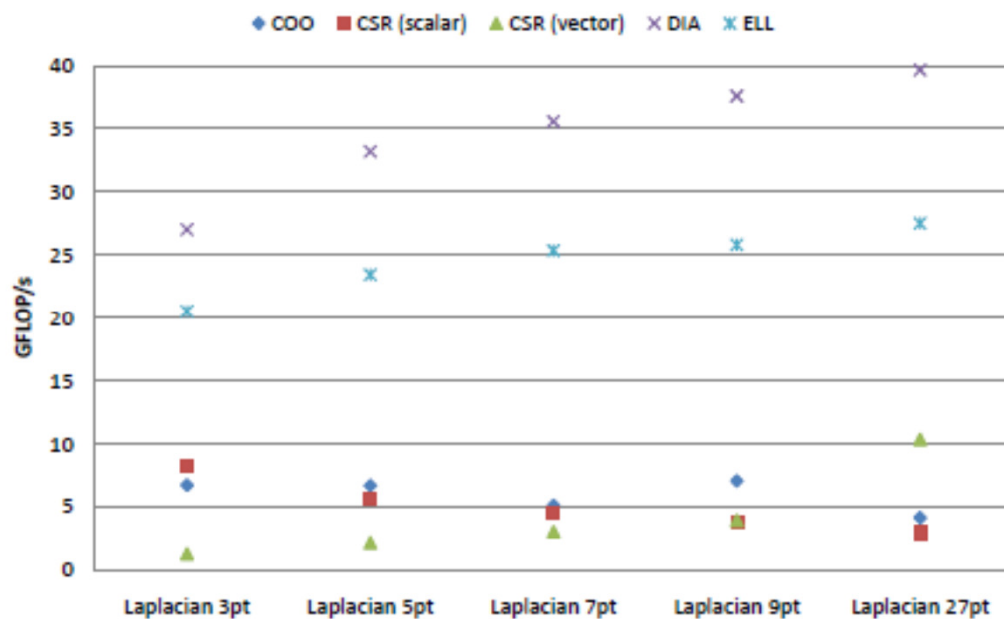


## HYB – Hybridní formát

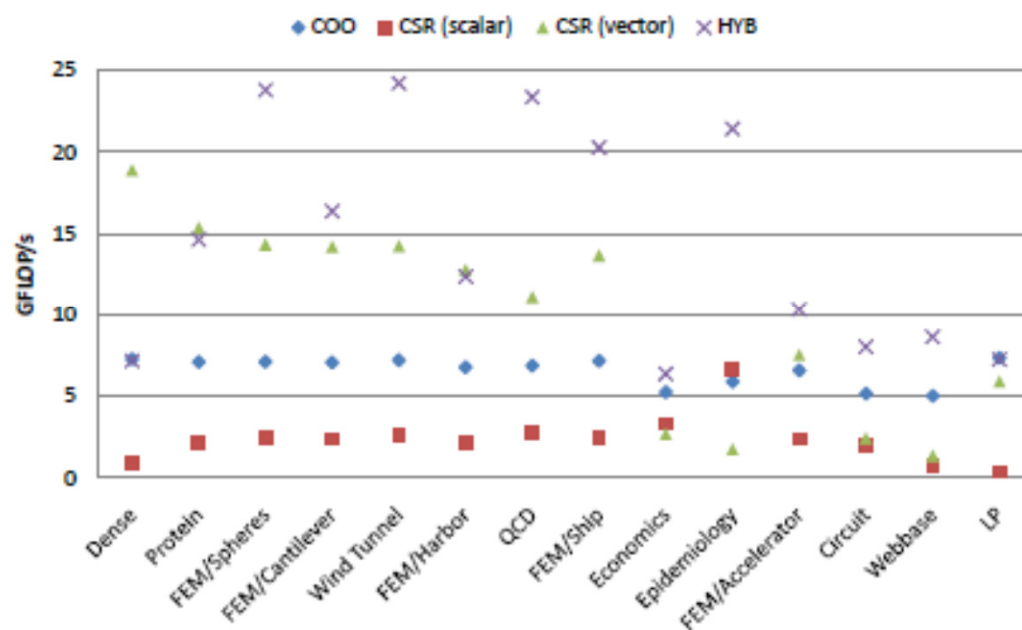
- Kombinace ELL a COO formátu
- Většina nenulových prvků uložena do ELL formátu, zbytek do COO formátu
- Nejlepší  $K$  pro ELL formát určeno z histogramu
- Plně obsazený ELL formát je přibližně 3 krát rychlejší než COO formát  
⇒  $K$  sloupců pro ELL formát pokud má alespoň třetina řádků víc než  $K$  nenulových prvků

## Experimenty – matice $\times$ vektor

### Strukturované matice



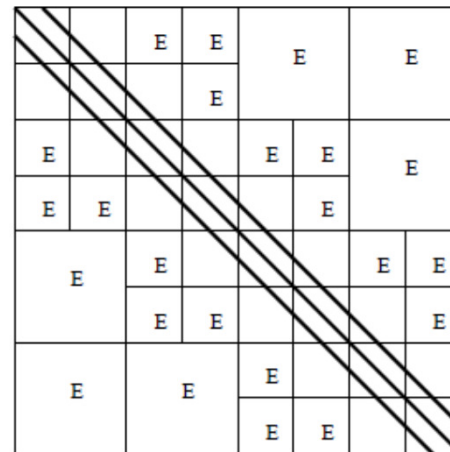
### Nestrukturované matice



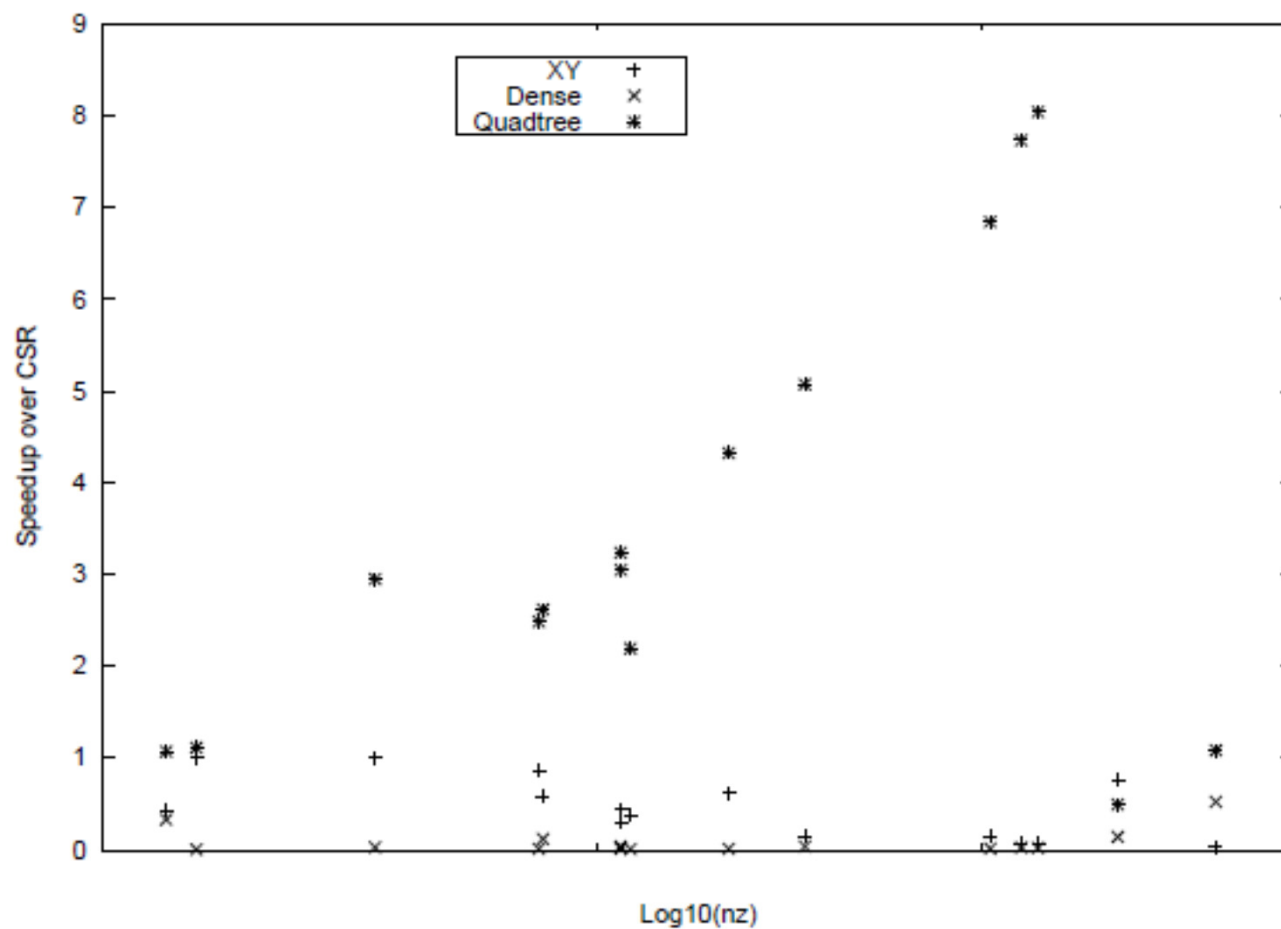


## Quadtree storage format

- Předchozí struktury pomalé důsledkem nepřímé adresace
- Řídké matice často obsahují husté podmatice (bloky)  $\Rightarrow$  vznik blokových formátů
- Využití quadtree – uzly odpovídají podmaticím
- **Typu uzlů:** vnitřní:
  - „Mixed“
  - „Empty“ – NULL pointer
- listy:
  - „Full“ – podíl nenulových prvků větší než práh
  - „Sparse“ – podmatice reprezentována COO formátem
- **Výhody:** alokováno méně paměti  
matice uložena jako malé husté bloky  $\Rightarrow$  lepší výkon  
jednoduchá konverze z předchozích formátů  
relativně jednoduchá modifikace quadtree

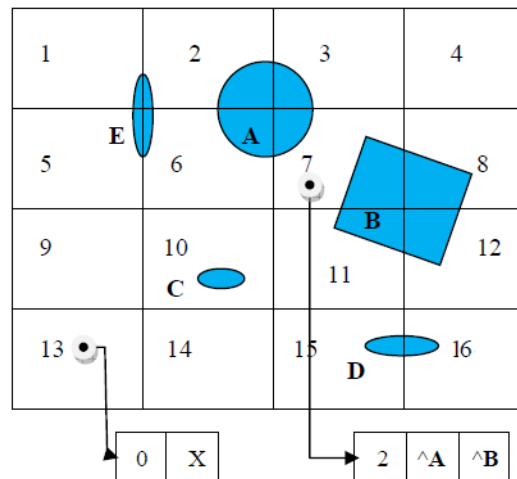


## Experimenty - matice $\times$ matice



## Dělení prostoru

- Jednoduchá technika dělicí (rovnoměrně) prostor na menší prostory
- Paměťová náročnost:  $O(p \cdot q \cdot M^d)$ 
  - $p$  – počet objektů
  - $d$  – dimenze
  - $M$  – počet dělení v jedné ose
  - $q = q(M, p, s)$  – pravděpodobnost, že „průměrný“ objekt protne podprostor
- Paměťové nároky prudce rostou s jemností dělení a dimenzí prostoru



## Rezidenční maska

- Pro každý objekt definován vektor bitů
- Délka vektoru bitů dána celkovým dělením prostoru
- Bit nastaven na “1” pokud objekt protíná daný interval

- Paměťová nároky:  $M_{RM} = pM^d / 8 \ [B]$

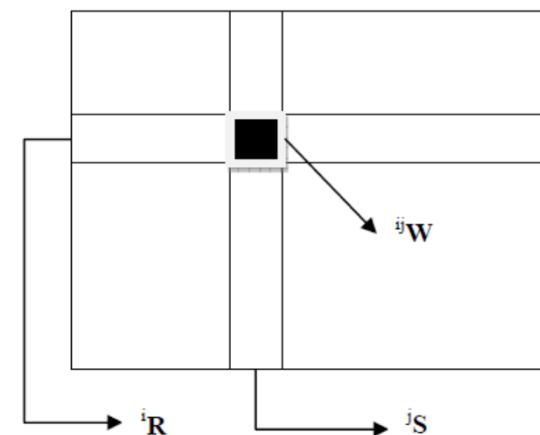
- $p$  – počet objektů
- $d$  – dimenze
- $M$  – počet dělení v jedné ose

$$Q = \begin{bmatrix} 0000 & 0000 & 0110 & 0110 \\ 0000 & 1100 & 1100 & 0000 \\ 0000 & 0010 & 0000 & 0000 \\ 1100 & 0000 & 0000 & 0000 \\ 0000 & 0000 & 0011 & 0011 \\ 15 & bits & \dots & 0 \end{bmatrix} = \begin{bmatrix} \text{Object A} \\ \text{Object B} \\ \text{Object C} \\ \text{Object D} \\ \text{Object E} \end{bmatrix}$$

- Časová složitost:  $O(p M^d)$
- **Výhody:** rychlá detekce kolize objektů pomocí **land**
- **Nevýhody:** při jemném dělení a malé velikosti objektů velmi dlouhé vektory bitů obsahující většinou nuly

## Binární maska

- Necht'  ${}^i\mathbf{R}$ , resp.  ${}^j\mathbf{S}$  – množina objektů protínajících  $i$ -tý řádkový řez resp.  $j$ -tý sloupcový řez, pak všechny objekty protínající buňku na pozici  $(i,j)$  dány:  ${}^{ij}\mathbf{W} = {}^i\mathbf{R} \cap {}^j\mathbf{S}$
- Množiny  ${}^i\mathbf{R}$ , resp.  ${}^j\mathbf{S}$  reprezentovány vektorem bitů ( $k$ -tý bit reprezentuje  $k$ -tý objekt)  
 $\Rightarrow {}^{ij}\mathbf{W} = {}^i\mathbf{R} \text{ land } {}^j\mathbf{S}$
- Paměťová nároky:  $M_{BM} = dpM/8$  [B]
  - $p$  – počet objektů
  - $d$  – dimenze
  - $M$  – počet dělení v jedné ose
- **Výhody:** rychlé nalezení všech objektů protínajících danou oblast  
 jednoduchá kontrola konzistence dat

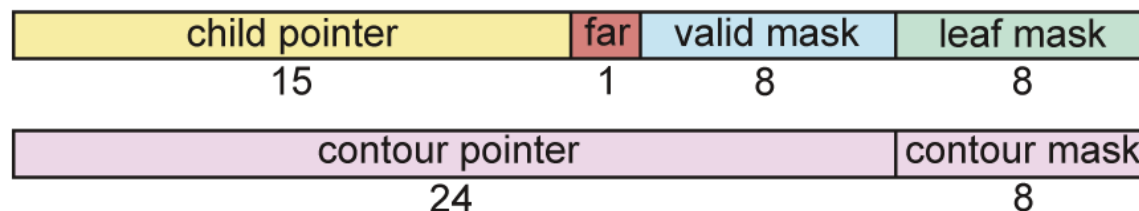


## Voxelová datová struktura

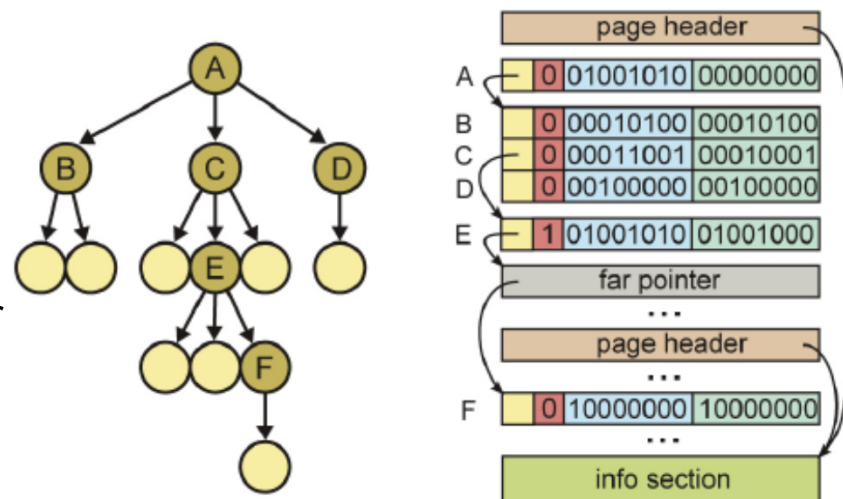
- Voxely uložíme pomocí řídkého octree (uzel reprezentuje voxel)
- Využití ray casting
- Data dělena do bloků obsahujících:
  - Pole child descriptors
    - Kódování topologie octree
  - Info sekce
    - Adresář dostupných attachments
    - Pointer na první child descriptor
  - Contour data
    - Popis geometrického tvaru voxelů
  - Různé množství attachments
    - Pole ukládající atributy pro stínování pro každý voxel

## Child descriptor (64-bit)

- Každý odpovídá jednomu nelistovému voxelu (list popsán ve svém rodiči)
- Rozdělen na dvě 32-bit části:
  - Popis množiny potomků
  - Souvisí s contours

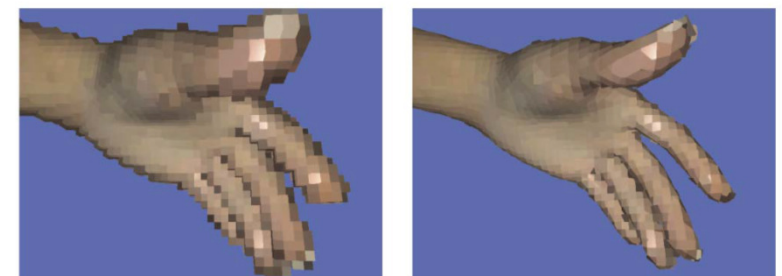
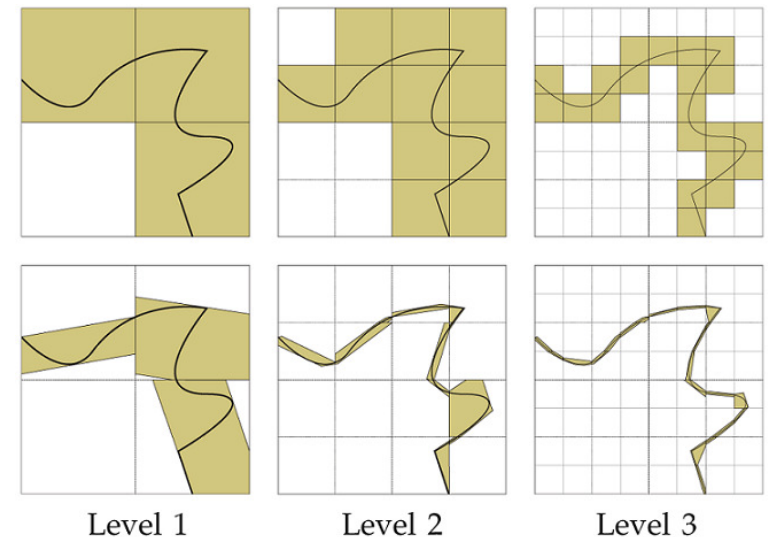


- Dvě bitové masky (každý potomek má jeden bit)
  - valid mask* – “1” pokud potomek obsahuje voxel
  - leaf mask* – “1” pokud potomek je list
- Child pointer* (15-bit)
  - existuje nelistový potomek  $\Rightarrow$  pak pointer na child descriptor
- Far bit*
  - pokud nastaven *child pointer* je nepřímý odkaz na far pointer



# Contours

- Přímočará vizualizace voxelových dat je aproximace geometrie uvnitř voxelu krychličkou
  - Vznik aproximační chyby
- Redukce chyby:
  - Voxel oříznut dvojicí rovnoběžných rovin (contour) odpovídajících orientaci aproximované plochy
  - Výsledkem kolekce orientovaných slabs
- *Contour mask*
  - “1” pokud potomek má přidruženu contour
- *Contour pointer* (24-bit)
  - Odkaz na seznam contours (pro každý nastavený bit jedna)
- Uložení contour (32-bit)
  - 3 krát 6-bit int pro definování normálových vektorů dvou rovin
  - 2 krát 7-bit int definujících jejich pozici uvnitř voxelu





## Budoucí práce

---

- Vývoj datových struktur pro meshfree techniky
  - Využití projektivní geometrie
  - Využití geometrické algebry

**DĚKUJI ZA POZORNOST**

## Reference

- Bell,N.,Garland,M.: Efficient Sparse Matrix-Vector Multiplication on CUDA, Nvidia Technical Report NVR-2008-004, Nvidia Corporation, Vol.2, No.5, 2008.
- Bell,N.,Garland,M.: Implementing Sparse Matrix-Vector Multiplication on Throughput-Oriented Processors, Proceedings of the Conference on High Performance Computing Networking, Storage and Analysis, ACM, p.18, 2009.
- Šimeček,I.: Sparse Matrix Computations using the Quadtree Storage Format, Proceedings of 11<sup>th</sup> International Symposium on Symbolic and Numeric Algorithms for Scientific Computing (SYNASC 2009), pp.168-173, 2009.
- Skala,V.: An Efficient Space Partitioning Method Using Binary Maps, 11<sup>th</sup> Conference SIP'2012 conference , pp.121-124, ISBN: 978-1-61804-081-7, St.Malo, WSEAS, France, 2012.
- Laine,S., Tero,K.: Efficient Sparse Voxel Octrees, Visualization and Computer Graphics, IEEE Transactions on, Vol.17, No.8, pp.1048-1059, 2011.